



Foliar Application of Nano Fe and Se Affected the Growth and Yield of *Pelargonium graveolens* under Salinity Stress

L. Vojodi Mehrabani^{1*}, Y. Anvari Gheshlagh², A. Motallebi Azar³

Received: 13-04-2021

Revised: 24-04-2021

Accepted: 01-05-2021

Available Online: 20-06-2022

How to cite this article:

Vojodi Mehrabani L., Anvari Gheshlagh Y., and Motallebi Azar A. 2022. Foliar Application of Nano Fe and Se Affected the Growth and Yield of *Pelargonium graveolens* under Salinity Stress. Journal of Horticultural Science 36(1): 213-228. (In Persian with English abstract)

DOI: [10.22067/JHS.2021.69767.1041](https://doi.org/10.22067/JHS.2021.69767.1041)

Introduction

NaCl Salinity is one of the major environmental stressors affecting agricultural production everywhere. Salinity impacts the plants by the osmotic stress, nutritional imbalance with plants cells and by reducing the nutrients absorption and reactive oxygen species over-generation, as well as by ionic competition for the absorption, translocation, distribution and ion toxicity inside plants. Under salinity stress, plants develop various physiological and biochemical mechanisms to overcome this conditions, like ion homeostasis and compartmentalization, ion uptake, biosynthesis of osmoprotectants, activation of antioxidant enzymeic (superoxide dismutase, catalase, ascorbate peroxidase and glutathione peroxidase) and nonenzymic compounds (proline) to overcome salinity stress. Optimum nutrition under stressful saline conditions is important to overcome the problem and to produce optimum yield. *Pelargonium graveolens* is a plant commonly used in food and pharmaceutical industries. Iran has favorable micro-climates for the *Pelargonium graveolens*, production, and since this plants is in common use with diverse industries, this experiments was conducted to study the effects of foliar spray with Se and nano Fe on growth and physiological traits *Pelargonium graveolens* under NaCl salinity depression

Materials and Methods

Two separate experiments were concluded to evaluate the effects of foliar application of selenium and nano-Iron (0, 1.5 and 3 mgL⁻¹) on pelargonium under saline (0, 50 and 100 mM) conditions as factorial based on Completely Randomized Design. In the first experiment, the effects of magnetized Iron and in the second experiment, the effect of selenium were assayed on pelargonium growth and physiological traits (plant dry weight, enzymic activity, elemental content, essential oil percent and oil constituents) under salinity stress.

Results and Discussion

The results obtained from the first experiment showed that, the aerial parts dry weight, Na, Fe and H₂O₂ content, catalase activity and oil percent of *Pelargonium graveolens* were independently affected by the salinity and (1.5 and 3 mgL⁻¹) Fe foliar treatment. At the first experiment the highest amount of K/Na ratio, flavonoid content, K content, malondialdehyde, proline and superoxide dismutase activity were influenced by salinity stress. The top amount amount of plant dry weight, Fe content, K/Na, Na and superoxide dismutase activity were recorded at control plants. The top amounts of Na, proline, malondialdehyde, H₂O₂ content were recorded at 100 mM salinity stress. control and 50 mM NaCl increased oil percent in plants. Foliar spray with 1.5 and 3 mgL⁻¹ Fe increased catalase, yield, phenolic content and oil percent in plants. At the second experiment; aerial parts dry weight, proline and flavonoid content were influenced by salinity stress. Catalase activity, malondialdehyde, superoxide dismutase activity and H₂O₂ content were influenced by sole effects of salinity and Se foliar

1 and 2- Associate Professor and M.Sc. Graduate of Department of Agronomy and Plant Breeding, Azarbaijan Shahid Madani University, Iran, respectively.

(*- Corresponing Author Email: vojodilamia@gmail.com)

3- Associate Professor, Department of Horticulture, Tabriz University, Tabriz, Iran

application. Under non saline condition, plant dry weight, superoxide dismutase activity, K content were increased in plant. With increasing salinity to 100 mM NaCl, proline, malondialdehyde and H₂O₂ content were increased. Se, Na content and K/Na ratio in the second experiment was influenced by the interaction effects of salinity and foliar spray. At the second experiment, the top amount of K/Na ratio were recorded at NaCl₀ × 1.5 and 3 mgL⁻¹ Se spray. The top amounts of Na were recorded at NaCl₀ × no foliar application. The superoxide dismutase activity, malondialdehyde and K⁺ were responded to the individual effects of salinity and Se treatment. The highest amounts of total phenolic content was attained by (1.5 and 3 mgL⁻¹) nano Fe and Se treatment in both experiment. With salinity of 50 and 100 mM, the flavonoids content was increased at both experiments. Foliar spray with 1.5 and 3 mgL⁻¹ Nano Fe and Se increased catalase activity in plants. 1.5 and 3 mgL⁻¹ Se and nano Fe foliar application reduced H₂O₂ content in plant at both experiment. GC/MS analysis revealed that β-citronellol (12.5-20.5%) was the major constituent with control treatment Citronelly formate (10.75-25.2%) were the dominant constituents of oil control plants. B-Thujone (12.61%), trans-Rose oxide (2.85- 9 %) and the highest amounts of Aromadendrene (5.42 %) only recorded at control plants. Salinity stress and foliar spray had negative effects on α-Pinene biosynthesis and the highest amounts of α-Pinene was recorded in control plants. The top amounts of Geranyl formate (0.7-7.8 %) was recorded at NaCl₅₀ × 1.5 mgL⁻¹ Fe spray. Y- muurolene (0.4 – 4.06 %) biosynthesis increased at NaCl₁₅₀ × 1.5 mgL⁻¹ Se.

Conclusion

Salinity stress involves changes in metabolic processes and various physiological traits, controlled by salinity stress severity. In total, salinity had negative effects on the growth and physiological responses of plants, however, foliar treatment with Se and Fe improved some physiological traits of *Pelargonium graveolens*.

Keywords: Enzyme activity, Essential oil, *Pelargonium graveolens*, Proline, Total phenolic content

مقاله پژوهشی

جلد ۳۶، شماره ۱، بهار ۱۴۰۱، ص ۲۲۸-۲۱۳

تأثیر سلنیوم و نانوذره آهن بر رشد و عملکرد شعمدانی عطری تحت تنش شوری کلرید سدیم

لمیا وجودی مهربانی^{۱*} - یعقوب انوری قشلاق^۲ - علی رضا مطلبی آذر^۳

تاریخ دریافت: ۱۴۰۰/۰۱/۲۴

تاریخ پذیرش: ۱۴۰۰/۰۲/۱۱

چکیده

به منظور بررسی تأثیر محلول پاشی با نانوذره آهن و سلنیوم بر روی گیاه شعمدانی عطری تحت تنش شوری، دو آزمایش جداگانه بصورت فاکتوریل بر مبنای طرح کاملاً تصادفی اجرا شد. در آزمایش اول تأثیر محلول پاشی با نانوذره آهن (صفر، ۱/۵ و ۳ میلی گرم در لیتر) و در آزمایش دوم تأثیر محلول پاشی با سلنیوم (صفر، ۱/۵ و ۳ میلی گرم در لیتر) بر رشد و برخی صفات فیزیولوژیک شعمدانی عطری تحت تنش شوری (صفر، ۵۰ و ۱۰۰ میلی مولار کلرید سدیم) مورد ارزیابی قرار گرفت. نتایج آزمایش اول نشان داد وزن خشک بخش هوایی گیاه، فعالیت کاتالاز، محتوای آهن، سدیم، پراکسید هیدروژن و درصد اسانس شعمدانی تحت تأثیر اثرات مستقل تنش شوری و محلول پاشی با نانوذره آهن قرار گرفت. نسبت پتاسیم به سدیم، محتوای فلاونوئید، پتاسیم، مالون دی آلدئید، پرولین و فعالیت سوپراکسید دیسموتاز تحت تأثیر تنش شوری قرار گرفت. بالاترین عملکرد گیاه، محتوای آهن، نسبت پتاسیم به سدیم و فعالیت سوپراکسید دیسموتاز در تیمار بدون تنش شوری مشاهده شد. بالاترین محتوای سدیم، پرولین، مالون دی آلدئید، پراکسید هیدروژن در تنش شوری ۱۰۰ میلی مولار کلرید سدیم مشاهده شد. تیمار بدون تنش شوری و ۵۰ میلی مولار کلرید سدیم موجب افزایش درصد اسانس شعمدانی شد. تیمارهای محلول پاشی با هر دو سطح نانوذره آهن موجب افزایش محتوای کاتالاز، عملکرد، محتوای فنل و درصد اسانس شد. در آزمایش دوم عملکرد گیاه، محتوای پرولین و فلاونوئید تحت تأثیر تنش شوری و محلول پاشی با سلنیوم قرار گرفت. محتوای کاتالاز، مالون دی آلدئید، فعالیت سوپراکسید دیسموتاز و پراکسید هیدروژن تحت تأثیر اثرات مستقل تنش شوری و محلول پاشی با سلنیوم قرار گرفت. تیمار بدون تنش شوری موجب افزایش عملکرد گیاه، فعالیت سوپراکسید دیسموتاز و پتاسیم گیاه شد. با افزایش تنش شوری به ۱۰۰ میلی مولار محتوای پرولین، مالون دی آلدئید و پراکسید هیدروژن در گیاه افزایش یافت. بیشترین فعالیت کاتالاز در تیمارهای بدون تنش شوری و تنش شوری ۵۰ میلی مولار کلرید سدیم مشاهده شد. محتوای سلنیوم، سدیم و نسبت پتاسیم به سدیم تحت تأثیر اثرات متقابل تنش شوری و محلول پاشی با سلنیوم قرار گرفت. محلول پاشی با ۱/۵ و ۳ میلی گرم در لیتر سلنیوم موجب افزایش محتوای کاتالاز، سوپراکسید دیسموتاز، فنل کل و محتوای پتاسیم شعمدانی شد. نتایج حاصل از تجزیه GC/MS نشان داد که β -citronellol (۲۴/۵-۱۲/۵ درصد) و Citronellyl acetate (۱۸/۳۹-۱/۵۶ درصد) جزء غالب اسانس شعمدانی عطری در تیمار تنش شوری ۵۰ میلی مولار کلرید سدیم با محلول پاشی ۱/۵ میلی گرم در لیتر سلنیوم و Citronellyl formate (۲۵/۲-۱۰/۷۵ درصد) جزء قالب اسانس در تیمار شاهد بود. در کل چنین می توان نتیجه گیری نمود که تنش شوری موجب کاهش صفات رشدی و فیزیولوژیک شعمدانی عطری شد. محلول پاشی با سلنیوم و نانوذره آهن نقش مهمی در بهبود صفات فیزیولوژیک گیاه داشت.

واژه های کلیدی: آنزیم، اسانس، پرولین، شعمدانی عطری، محتوای فنل کل

۱ و ۲- به ترتیب دانشیار و دانش آموخته کارشناسی ارشد گیاهان دارویی، گروه زراعت و اصلاح نباتات، دانشگاه شهید مدنی آذربایجان، ایران
(* نویسنده مسئول: Email: vojodilamia@gmail.com)

۳- دانشیار گروه باغبانی، دانشگاه تبریز، تبریز، ایران

مقدمه

شده در بالا و نیز با توجه به اهمیت این گیاه در صنایع مختلف و وجود شرایط اقلیمی مستعد در ایران برای پرورش این گیاه هدف از بررسی حاضر ارزیابی تأثیر محلول‌پاشی با سلنیوم و نانو ذره آهن بر رشد و برخی صفات فیزیولوژیک شعمدانی عطری تحت شرایط تنش شوری می‌باشد.

مواد و روش‌ها

به‌منظور بررسی اثرات تنش شوری کلریدسدیم (صفر، ۵۰ و ۱۰۰ میلی‌مولار) و محلول‌پاشی با سلنیوم و نانو ذره آهن مغناطیسی (صفر، ۱/۵ و ۳ میلی‌گرم در لیتر) بر رشد و برخی صفات فیزیولوژیک شعمدانی عطری آزمایشی در گلخانه تحقیقاتی دانشکده کشاورزی دانشگاه شهید مدنی آذربایجان انجام گرفت. قلمه‌های ریشه‌دار شده ۱۵ تا ۲۰ سانتی‌متری شعمدانی عطری در گلدان‌های ۵ لیتری حاوی پرلیت دانه متوسط کاشته شدند. از محلول نیم‌هولگند (pH: 5.5-5.7) به‌منظور رشد اولیه گیاه و سازگاری گیاهان با شرایط گلخانه استفاده شد. گیاهان به مدت ۲۰ روز با محلول نیم‌هولگند تغذیه شدند. بیست روز بعد از رشد گیاهان در مرحله ۶ تا ۸ برگگی تنش شوری اعمال گردید. به‌منظور سازگار نمودن گیاهان به شرایط تنش، اعمال تنش شوری به تدریج و با غلظت ۲۵ میلی‌مولار نمک آغاز گردید. بعد از چهار روز با اضافه کردن ۲۵ میلی‌مولار دیگر نمک، سطح شوری گلدان‌ها به ۵۰ میلی‌مولار افزایش یافت و این روند تا رسیدن به سطح شوری ۱۰۰ میلی‌مولار نمک ادامه یافت. اولین محلول‌پاشی همزمان با اعمال تنش شوری و محلول‌پاشی دوم دو هفته بعد (در مرحله ۸-۱۱ برگگی) انجام شد. سه هفته بعد از آخرین محلول‌پاشی (مرحله ۱۲-۱۵ برگگی)، نمونه‌برداری از گیاهان انجام گرفت. به‌منظور اندازه‌گیری وزن خشک گیاه، نمونه‌ها از محل طوقه گیاه (سطح بستر کشت) بریده شده و در دمای اتاق خشک شدند. اندازه‌گیری وزن خشک گیاه با استفاده از ترازوی دیجیتالی (BBI41, Boeco, Germany) انجام شد.

سنتز نانوذره آهن مغناطیسی

روش سنتز نانوذرات Fe_3O_4

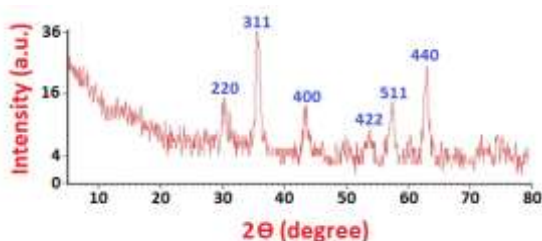
۴/۸۳ گرم آهن کلرید شش آبه و ۳/۳۴ گرم آهن سولفات هفت آبه به آب اضافه شد و در دمای $100^\circ C$ ، بشدت همزده شد. بعد از انحلال کامل نمک‌ها، ۱۲ میلی‌لیتر آمونیاک غلیظ روی محلول‌ها اضافه شد و عمل هضم تا دو ساعت ادامه یافت. پس از سرد کردن بالن تا دمای اتاق، نانوذرات Fe_3O_4 با استفاده از آهن‌ربا از محلول واکنش جدا شده و در آن در دمای $80^\circ C$ خشک گردید.

بررسی طیف FT-IR: شکل ۱ طیف FT-IR مربوط به نانو

تنش شوری یکی از تنش‌های عمده محیطی مؤثر بر تولید محصولات کشاورزی در سراسر دنیا است (Munns and Tester, 2008). در مطالعات گسترده پیرامون شوری و تغذیه گیاهی، این مسئله به اثبات رسیده است که شوری موجب بروز ناهنجاری‌های گوناگون تغذیه‌ای در گیاه می‌شود که علت آن ممکن است مربوط به اثرات منفی شوری بر قابلیت جذب عناصر غذایی و تولید رادیکال‌های آزاد اکسیژن و یا مربوط به اثر شوری در ایجاد رقابت بین یون‌ها برای جذب، انتقال و توزیع در بخش‌های مختلف گیاه باشد (Munns and Tester, 2008; Rady et al., 2011). تنش شوری تأثیر منفی بر رشد گیاه از طریق سمیت یونی، استرس اسمزی و تنش اکسیداتیو دارد (Munns and Tester, 2008). بسته شدن روزنه‌ها در اثر تنش شوری موجب کاهش مصرف NADPH در چرخه کالوین می‌شود و به این طریق موجب ایجاد اختلال در انجام فرایندهای فیزیولوژیک گیاه می‌شود (Turkan and Demiral, 2009). وجود آنزیم‌های آنتی‌اکسیدان (سوپراکسید دیسموتاز در اولین خط دفاعی سلول بر علیه آسیب‌های ناشی از تنش قرار دارد که موجب حذف آنیون‌های سوپراکسیداز از سلول می‌شود) و ترکیبات آنتی‌اکسیدانی نقش مهمی در کاهش آسیب ناشی از رادیکال‌های آزاد اکسیژن تولید شده در سلول دارد (Turkan and Demiral, 2009). گیاهان از مکانیسم‌های مختلفی برای مقابله با تنش شوری استفاده می‌کنند. درک اجزای تنش و مسیرهای پیام‌رسانی نقش مهمی در تنظیم واکنش گیاه به تنش شوری را دارد. بنابراین یافتن ترکیباتی که موجب افزایش تحمل گیاهان در مقابل تنش شوری باشد گامی مؤثر در جهت نیل به تولید پایدار در بخش کشاورزی می‌باشد. استفاده از فرم نانوکودهای آهن موجب بهبود رشد گیاه و عملکرد گیاه تحت شرایط تنش شوری می‌شود (Valizadeh Kamran et al., 2017). آهن نقش مهمی در فعالیت آنزیمی، فرآیند تنفس، تشکیل کلروپلاست و فتوسنتز در گیاهان دارد (Valizadeh Kamran et al., 2017). کاربرد سلنیوم تأثیر مثبت در کاهش تنش‌های زیستی و افزایش رنگدانه‌های فتوسنتزی، فرآیند فتوسنتز، فعالیت آنزیم‌های آنتی‌اکسیدان و جذب پتاسیم دارد (Xue et al., 2001).

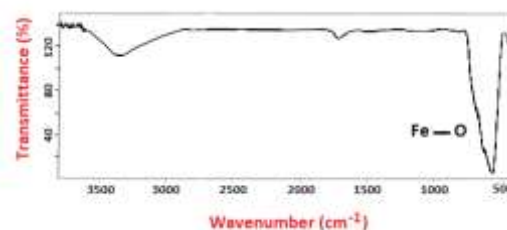
شعمدانی عطری با نام علمی *Pelargonium graveolens* گیاهی علفی، معطر، چند ساله، از خانواده Geraniaceae می‌باشد. گیاهان این جنس از نظر صنعتی به دلیل دارا بودن خاصیت حشره‌کشی، ضد قارچ، ضد ویروس و ضد باکتری اهمیت دارند (Ghannadi et al., 2012). اسانس شعمدانی عطری حاوی ژرانیول، سیترونلول و سیترونل فرمات است که نقش مهمی در صنایع داروسازی دارد (Ghannadi et al., 2012). با توجه به موارد ذکر

بررسی طیف XRD: پیک‌های ایجاد شده در 2θ های 30.07° ، 35.60° ، 43.239° ، 53.782° و 63.058° سنتز نانوذرات آهن را تایید می‌کند.



شکل ۲- طیف XRD ذرات نانو Fe_3O_4
Figure 2- XRD spectrum of Fe_3O_4 nano-particles

ذرات Fe_3O_4 را در محدوده $400-500\text{ cm}^{-1}$ نشان می‌دهد. همانطور که در روی شکل مشاهده می‌کنید پیک‌ی در حوالی 570 cm^{-1} دیده می‌شود که مربوط به ارتعاشات کششی Fe-O می‌باشد که نشان می‌دهد ذرات اکسید آهن به خوبی سنتز شده‌اند.



شکل ۱- طیف FT-IR ذرات نانو Fe_3O_4
Figure 1- FT-IR spectrum of Fe_3O_4 nano-particles

شد. 0.1 میلی‌مولار از محلول EDTA، 75 میکرومولار نیتروبلوتترازولیوم، 13 میکرومولار متیونین و 4 میکرومولار ربیوفلاوین به بافر اضافه و محلول درتاریکی نگهداری شد. جذب نمونه‌ها در 560 نانومتر اندازه‌گیری شد (Giannopolitis and Ries, 1977).

اندازه‌گیری محتوای پرولین: روی 0.2 گرم از نمونه برگ، 5 میلی‌لیتر اسید سولفوسالسیلیک 3 درصد اضافه شد. یک میلی‌لیتر از محلول رویی با یک میلی‌لیتر اسید نین هیدرین و یک میلی‌لیتر اسید گلاسیال مخلوط شد. سپس نمونه‌ها به مدت یک ساعت در حمام آب 100 درجه سانتی‌گراد قرار گرفتند. جذب نمونه‌ها توسط دستگاه اسپکتروفوتومتر در طول موج 520 نانومتر قرائت شد (Fedina et al., 2006).

اندازه‌گیری فلاونوئید و فنل کل: برای اندازه‌گیری محتوای فنل کل روی 0.1 میلی‌لیتر از عصاره متانولی، 0.3 میلی‌لیتر کلراید آلومینیوم 10 درصد افزوده شد سپس جذب نمونه‌ها در 510 نانومتر به‌وسیله اسپکتروفوتومتر اندازه‌گیری شد. محتوای کل فلاونوئیدها بر مبنای استاندارد روتین بیان شد (18). برای اندازه‌گیری محتوای فنل کل از معرف فولن سیکالتو^۱ استفاده شد. از اسید گالیک به عنوان استاندارد برای اندازه‌گیری ترکیبات فنلی استفاده شد. جذب نمونه‌ها، در طول موج 750 نانومتر تعیین گردید (Kim et al., 2006).

استخراج اسانس: روی 30 گرم از نمونه‌های خشک شده برگ شعمدانی عطری، پودر شده 350 میلی‌لیتر آب مقطر اضافه و به مدت $2/5$ ساعت اسانس‌گیری شد. از سولفات سدیم خشک برای آبیگری اسانس حاصل استفاده شد. برای شناسایی ترکیبات شیمیایی روغن فرار استخراج شده از دستگاه کروماتوگرافی گازی (GC-Agilent

اندازه‌گیری وزن خشک گیاه: به‌منظور اندازه‌گیری وزن خشک گیاه، نمونه‌ها از محل طوقه گیاه (سطح بستر کشت) بریده شده و در دمای اتاق خشک شدند. اندازه‌گیری وزن خشک گیاه با استفاده از ترازوی دیجیتال (BBI41, Boeco, Germany) انجام شد.

اندازه‌گیری محتوای کاتالاز: برای اندازه‌گیری فعالیت کاتالاز، 0.5 گرم از برگ شعمدانی عطری در بافر فسفات پتاسیم سرد 0.1 مولار (PH: 7/5) حاوی EDTA 0.5 میلی‌مولار هموژنیزه شد. 0.5 میلی‌لیتر از محلول رویی با $1/5$ میلی‌لیتر بافر فسفات 0.1 میلی‌مولار (PH: 7) و $1/45$ میلی‌لیتر آب دو بار تقطیر مخلوط شد. واکنش با افزودن 0.5 میلی‌لیتر پراکسید هیدروژن 75 میلی‌مولار آغاز گردید. جذب نمونه‌ها 240 نانومتر در مدت یک دقیقه ثبت شد (Luhova et al., 2003).

محتوای پراکسید هیدروژن: ابتدا نمونه در نیتروژن مایع پودر شد سپس با 5 میلی‌لیتر TCA یک درصد حجمی (حجمی/ وزنی) مخلوط گردید. روی 0.5 میلی‌لیتر از محلول رویی، 0.5 میلی‌لیتر بافر فسفات 10 میلی‌مولار با PH: 7/5 و یک میلی‌لیتر یدید پتاسیم یک مولار اضافه شد. میزان جذب نمونه‌ها در 390 نانومتر به کمک اسپکتروفوتومتر قرائت گردید (Amaranathareddy et al., 2015).

اندازه‌گیری محتوای مالون دی‌آلدئید: روی 0.2 گرم برگ 5 میلی‌لیتر TCA یک درصد اضافه گردید. محلول حاصل در 12000 دور در دقیقه به مدت 15 دقیقه سانتریفیوژ شد. یک میلی‌لیتر از محلول رویی با 4 میلی‌لیتر از مخلوط $20\% \text{ TCA} + 0.5\% \text{ TBA}$ مخلوط شد و به مدت 30 دقیقه گرم شد. جذب نمونه‌ها به کمک اسپکتروفوتومتر (T80+, China) در طول موج‌های 532 و 600 نانومتر قرائت شد (Heath and Packer, 1968).

محتوای سوپراکسید دیسموتاز: برای اندازه‌گیری از 50 میلی‌لیتر بافر فسفات پتاسیم 50 میلی‌مولار با pH حدود $7/5$ استفاده

کلروفیل، تنفس و تثبیت نیتروژن در گیاه دارد. آهن به عنوان ناقل الکترون در فرآیند تنفس و فتوسنتز عمل می‌کند (Marschner, 1995). افزایش غلظت آهن در سلول‌های فتوسنتزی نشان‌دهنده اهمیت این عنصر در افزایش عملکرد گیاه می‌باشد. آهن در سلول‌های فتوسنتزی نقش مهمی در بیوسنتز سیتوکروم‌ها و سایر مولکول‌های دارای هم (کلروفیل و سیستم انتقال الکترون) دارد و با افزایش فتوسنتز کمک موثری به بهبود رشد گیاه می‌کند (Maschner, 1995).

فعالیت کاتالاز

در هر دو آزمایش فعالیت آنزیم کاتالاز تحت تاثیر اثرات مستقل تنش شوری و تیمارهای محلول‌پاشی با سلینیوم و نانوذره آهن قرار گرفت (جدول ۱). در هر دو آزمایش تنش شوری ۵۰ میلی‌مولار کلرید سدیم و تیمار بدون تنش شوری موجب افزایش فعالیت آنزیم کاتالاز شد (جدول ۲). محلول‌پاشی با هر دو سطح آهن و سلینیوم موجب افزایش محتوای کاتالاز شد (جدول ۳). تیمار گیاهان تحت تنش شوری شوید با سلینیوم موجب افزایش محتوای آنزیم کاتالاز در گیاه شد (Shekari et al., 2017). نتایج مشابهی در خصوص کاهش فعالیت کاتالاز در اثر تنش شوری در شاهسپریم گزارش شد محلول‌پاشی با سولفات آهن تحت تنش شوری موجب افزایش فعالیت کاتالاز در شاهسپریم شد (Valizadeh Kamran et al., 2017). تحت شرایط تنش در اثر بتا اکسیداسیون اسیدهای چرب رادیکال‌های آزاد اکسیژن مانند پراکسید هیدروژن، هیدروکسیل و سوپراکسید سلول تولید می‌شوند که تاثیر مخرب بر سلول دارد. آنزیم‌های آنتی‌اکسیدانی مانند کاتالاز، پراکسیداز و اسکوربات پراکسیداز نقش مهمی در حذف یا کاهش اثرات سوء رادیکال‌های آزاد تولید شده در سلول‌های گیاهی را دارند. کاتالاز نقش مهمی در تبدیل پراکسید هیدروژن به آب و مولکول اکسیژن دارد و به این طریق موجب کاهش اثرات مخرب رادیکال‌های آزاد در سلول‌های گیاهی می‌شود (Vojodi Mehrabani, 2019; Hernandez et al., 2019).

محتوای پراکسید هیدروژن

در هر دو آزمایش تنش شوری ۱۰۰ میلی‌مولار موجب افزایش محتوای پراکسید هیدروژن در گیاه شد (جدول ۲). نتایج نشان‌دهنده افزایش تقریباً ۵۸ درصدی محتوای پراکسید هیدروژن نسبت به تیمار شاهد تحت تنش شوری بود. نتایج محلول‌پاشی با سلینیوم و نانوذره آهن مغناطیسی نشان داد که در هر دو آزمایش بیشترین محتوای پراکسید هیدروژن در تیمار بدون محلول‌پاشی مشاهده شد (جدول ۳). نتایج مشابهی در خصوص افزایش محتوای پراکسید هیدروژن تحت تنش شوری در شعمدانی عطری (Vojodi Mehrabani, 2019) و

(Technologies, 7890B) مجهز به آشکارساز یونیزاسیون شعله‌ای (FID) متصل به یک آشکارساز طیف‌سنجی جرمی (MS - Agilent Technologies, 5977A) استفاده شد.

اندازه‌گیری عناصر برگ: از روش فلاپم فتومتری (Corning, 410, England) برای اندازه‌گیری محتوای عناصر سدیم و پتاسیم و دستگاه جذب اتمی (Corning, 410, England) برای اندازه‌گیری محتوای آهن و سلینیوم استفاده شد (AOAC, 1990).

طرح آزمایشی و آنالیز داده‌های آماری: آزمایش حاضر به صورت فاکتوریل بر پایه طرح کاملاً تصادفی با سه تکرار اجرا شد. برای تجزیه داده‌ها از برنامه‌های آماری SPSS استفاده شد. برای رسم شکل‌ها از برنامه Excell استفاده شد. میانگین داده‌ها با استفاده از آزمون دانکن در سطح احتمال ۵ و ۱ درصد مقایسه شد.

نتایج و بحث

وزن خشک بخش هوایی گیاه

وزن خشک گیاه در آزمایش اول تحت تاثیر اثرات مستقل تنش شوری و محلول‌پاشی قرار گرفت (جدول ۱). بیشترین وزن خشک بخش هوایی گیاه در تیمار شاهد (بدون تنش شوری) مشاهده شد با افزایش تنش شوری به ۱۰۰ میلی‌مولار از وزن خشک بخش هوایی گیاه کاسته شد (جدول ۲). تیمار محلول‌پاشی با غلظت‌های ۱/۵ و ۳ میلی‌گرم در لیتر نانوذره آهن موجب افزایش وزن خشک بخش هوایی گیاه شد (جدول ۳). در آزمایش دوم وزن خشک بخش هوایی گیاه تحت تاثیر تیمار تنش شوری قرار گرفت و بالاترین عملکرد گیاه در تیمار بدون تنش شوری به میزان ۵۱۳ گرم بر متر مربع در تیمار بدون تنش شوری مشاهده شد. بررسی انجام شده در شعمدانی عطری (Vojodi Mehrabani, 2019) و شعمدانی (Hassanvand et al., 2019) نشان داد که با افزایش تنش شوری رشد رویشی گیاه کاهش می‌یابد. شاید یکی از دلایل کاهش رشد رویشی گیاه تحت تنش شوری در اثر اختلال در توازن یونی ایجاد شده در گیاه در اثر تنش شوری باشد که منجر به جذب بیشتر یون سدیم و کلر تحت شرایط تنش شده و بدین ترتیب با ایجاد اختلال در فعالیت‌های متابولیکی گیاه (کاهش تقسیم سلول و فتوسنتز) و با کاهش بیوسنتز و انتقال جیبرلین و سیتوکینین در گیاه موجب کاهش رشد گیاه می‌شود (Vojodi Mehrabani et al., 2018; Marschner, 1995). محلول‌پاشی با سولفات آهن تحت تنش شوری موجب افزایش عملکرد شاهسپریم شد (Valizadeh Kamran et al., 2017). در بررسی انجام شده در انیسون مشخص شد که محلول‌پاشی با آهن نقش مثبت در افزایش عملکرد گیاه تحت شرایط تنش را داشت (Pirzad and Barin, 2018). آهن از اجزای مهم بسیاری از آنزیم‌ها می‌باشد و نقش مهمی در فرآیندهای بیولوژیکی مانند فتوسنتز، سنتز

فتواکسیداتیو در گیاه تحت تنش شوری اتفاق افتاده و موجب تجمع رادیکال‌های سوپراکسید و پراکسید هیدروژن در گیاه و آسیب به غشای تیلاکوئید و کلروپلاست می‌شود (Subramanyan *et al.*, 2019).

فعالیت آنزیم سوپراکسید دیسموتاز

در آزمایش اول فعالیت آنزیم سوپراکسید دیسموتاز تحت تاثیر اثر مستقل تنش شوری قرار گرفت بالاترین فعالیت سوپراکسید دیسموتاز در تیمار بدون تنش شوری مشاهده شد (جدول ۲). با افزایش تنش شوری به ۱۰۰ میلی‌مولار از فعالیت آنزیم ۲۴ درصد نسبت به تیمار شاهد کاسته شد (جدول ۲). در آزمایش دوم فعالیت سوپراکسید دیسموتاز تحت تاثیر اثرات مستقل تیمار محلول‌پاشی با ۱/۵ و ۳ میلی‌گرم در لیتر سلنیوم (جدول ۳) و تنش شوری (بدون کلرید سدیم) قرار گرفت (جدول ۲). در بررسی انجام شده در گوجه‌فرنگی مشخص شد که محلول‌پاشی سلنیوم موجب افزایش فعالیت سوپراکسید دیسموتاز شد (Hernandez *et al.*, 2019). در سیستم دفاع آنزیمی سوپراکسید دیسموتاز با رادیکال سوپر اکسید واکنش نشان داده تا پراکسید هیدروژن را به کمک کاتالاز به آب و اکسیژن مولکولی تجزیه کند تا از اثرات مضر آن‌ها در سلول کاسته شود (Betwal and Ram, 2019). استفاده از برخی عناصر غذایی ریزمغذی در شرایط تنش شوری نقش مهمی در کاهش اثرات مخرب رادیکال‌های آزاد اکسیژن در سلول را دارد (Munns and Tester, 2008). نتایج بررسی انجام شده در انگور (Mozafari *et al.*, 2018) نشان داد که محلول‌پاشی با سلنیوم تحت تنش شوری موجب افزایش محتوای سوپراکسید دیسموتاز در گیاه شد. نتایج مشابهی در خصوص افزایش در فعالیت آنزیم سوپراکسید دیسموتاز در شوید در اثر محلول‌پاشی با سلنیوم تحت تنش شوری گزارش شد (Shekari *et al.*, 2017).

محتوای پرولین

در هر دو آزمایش تنش شوری ۱۰۰ میلی‌مولار کلریدسديم موجب افزایش محتوای پرولین گیاه شد و کمترین محتوای پرولین در تیمار بدون تنش شوری مشاهده شد (جدول ۲). نتایج بررسی انجام شده شعمدانی (Hassanvand *et al.*, 2019) نشان داد که با افزایش تنش شوری بر محتوای پرولین گیاه افزوده شد. بررسی انجام شده در گیاه رزماری نشان داد که با افزایش تنش شوری بر محتوای پرولین گیاه افزوده شد و محلول‌پاشی با نانوذره آهن تأثیری در افزایش پرولین گیاه نداشت (Hassanpouraghdam *et al.*, 2019).

رزماری (Vojodi Mehrabani *et al.*, 2018) گزارش شد. محلول‌پاشی با آهن موجب کاهش محتوای پراکسید هیدروژن در رزماری شد (Hassanpouraghdam *et al.*, 2019). رادیکال‌های آزاد اکسیژن تولید شده تحت شرایط تنش شوری در اثر تخریب غشای سلول (پروتئین و غشای فسفولیپیدی) موجب افزایش محتوای مالون دی‌آلدئید و پراکسید هیدروژن در گیاه شد (Marschner, 1995; Subramanyan *et al.*, 2019). کاربرد سلنیوم موجب کاهش محتوای مالون دی‌آلدئید و محتوای پراکسید هیدروژن در برنج شد که این عمل را از طریق افزایش سطوح transcript OSNHX1 در گیاه انجام می‌دهد افزایش بیان OSNHX1 در اثر کاربرد سلنیوم موجب افزایش نسبت پتاسیم به سدیم در گیاه شده و به این طریق موجب محافظت از سلول در مقابل تنش شوری می‌شود (Subramanyan *et al.*, 2019). افزایش تجمع اسید آسبزیک در اثر تنش شوری موجب تولید پراکسید هیدروژن در گیاه می‌شود که در این صورت گیاه به‌منظور کاهش اثرات منفی تجمع پراکسید هیدروژن ناگزیر به افزایش فعالیت آنزیم‌های آنتی‌اکسیدانی می‌شود (Subramanyan *et al.*, 2019; Marschner, 1995).

محتوای مالون دی‌آلدئید

تنش شوری ۱۰۰ میلی‌مولار کلریدسديم در آزمایش اوا موجب افزایش محتوای مالون دی‌آلدئید تا ۱۰۰ نانومول بر گرم تر گیاه شد کمترین محتوای مالون دی‌آلدئید در تیمار شاهد مشاهده شد (جدول ۲). در آزمایش دوم تنش شوری ۱۰۰ میلی‌مولار کلریدسديم، موجب افزایش ۴۰ درصدی محتوای مالون دی‌آلدئید نسبت به تیمار شاهد شد. در آزمایش دوم محتوای مالون دی‌آلدئید علاوه بر تنش شوری تحت تاثیر محلول‌پاشی با سلنیوم نیز قرار گرفت و محلول‌پاشی با سلنیوم موجب کاهش محتوای مالون دی‌آلدئید در گیاه شد (جدول ۳). محلول‌پاشی با غلظت ۱/۵ میلی‌گرم در لیتر سلنیوم موجب کاهش حدوداً ۲۴ درصدی محتوای مالون دی‌آلدئید نسبت شاهد شد (جدول ۳). تنش شوری تاثیر منفی بر شاخص پایداری غشای سلول دارد. تنش شوری موجب افزایش محتوای مالون دی‌آلدئید گیاه شد اما محلول‌پاشی با سلنیوم تحت چنین شرایطی موجب افزایش فعالیت آنزیم‌های آنتی‌اکسیدانی شده و موجب کاهش محتوای مالون دی‌آلدئید در گیاه شد (Shekari *et al.*, 2017). به‌نظر می‌رسد افزایش نشیبونی در سلول به‌دلیل افزایش جذب غیرانتخابی یون سدیم در گیاهان تحت تنش شوری اتفاق می‌افتد (Marschner, 1995; Subramanyan *et al.*, 2019). تجمع پراکسید هیدروژن و رادیکال‌های سوپراکسید در گیاه در اثر فعال شدن واکنش‌های

جدول ۱- تجزیه واریانس تاثیر محلول پاشی با سلنیوم و نانوذره آهن و تنش شوری بر وزن خشک، فعالیت کاتالاز، محتوای پراکسید هیدروژن، مالون دی آلدئید، فعالیت سوپراکسید دیسموتاز، محتوای پرولین و فنل کل شعمدانی عطری

Table 1- ANOVA for the Se and nano Fe spray and salinity on aerial part dry weight, catalase activity, H₂O₂ content, malondialdehyde, superoxide dismutase activity, Proline and total phenolics content of *Pelargonium graveolens*

آزمایش Experiment No.	منابع تغییرات Source of variation	درجه آزادی df	وزن خشک		محتوای پراکسید هیدروژن H ₂ O ₂ content	محتوای مالون دی آلدئید Malondialdehyde content	فعالیت		محتوای فنل کل Total phenolics content
			بخش هوایی گیاه Aerial part dry weight	فعالیت کاتالاز Catalase activity			سوپراکسید دیسموتاز Superoxide dismutase activity	محتوای پرولین Proline content	
1	شوری Salinity	2	71045**	165**	7.2**	4927**	3.13**	7948**	4.7 ^{ns}
	محلول پاشی با آهن Fe spray	2	19*	116**	0.82**	470.4 ^{ns}	0.7 ^{ns}	41.3 ^{ns}	98**
	شوری × محلول پاشی با آهن Salinity × Fe spray	4	469 ^{ns}	2 ^{ns}	0.01 ^{ns}	31.5 ^{ns}	0.01 ^{ns}	6.3 ^{ns}	4 ^{ns}
	خطا Error	18	5752	16.8	0.047	256.1	0.094	153.4	6.2
2	شوری Salinity	2	65052**	67.8*	5.8**	4650**	2.45**	7739**	5.1 ^{ns}
	محلول پاشی با سلنیوم Se spray	2	9438 ^{ns}	98.9*	1.1**	1148*	0.50**	34 ^{ns}	2.7*
	شوری × محلول پاشی با سلنیوم Salinity × Se spray	4	432 ^{ns}	3.7 ^{ns}	0.039 ^{ns}	49.1 ^{ns}	0.035 ^{ns}	29.7 ^{ns}	3.5 ^{ns}
	خطا Error	18	6534	17.1	0.325	225	0.34	125	4.8

^{ns}, *, ** به ترتیب به مفهوم عدم اختلاف معنی دار و اختلاف معنی دار در سطح احتمال ۵ و ۱ درصد می باشند.
^{ns}, *, and ** are non-significant and significant at $p \leq 0.05$ and $p \leq 0.01$, respectively.

جدول ۲- تاثیر تنش کلرید سدیم بر وزن خشک بخش هوایی گیاه، محتوای پراکسید هیدروژن، فعالیت کاتالاز، محتوای مالون دی آلدئید، فعالیت سوپراکسید دیسموتاز، محتوای پرولین و فلاونوئید شعمدانی عطری

Table 2- The effects of NaCl salinity on plant dry weight, H₂O₂ content, catalase activity, malondialdehyde content, Superoxide dismutase activity, proline and flavonoids content of *Pelargonium graveolens*

آزمایش Experiment No.	تنش شوری Salinity stress (mM NaCl)	وزن خشک بخش هوایی گیاه Aerial part dry weight (g.m ⁻²)	فعالیت آنزیم کاتالاز Catalase activity (units.mg ⁻¹ protein)	محتوای پراکسید هیدروژن H ₂ O ₂ content (μmolg ⁻¹ FWt)	محتوای مالون دی آلدئید Malondialde hyde content (nmol.g ⁻¹ FWt)	فعالیت		محتوای فلاونوئید Flavonoids content (mg. g ⁻¹ FWt)
						سوپراکسید دیسموتاز Superoxide dismutase activity (units. mg ⁻¹ Portein)	محتوای پرولین Proline Content (μg.g ⁻¹ FWt)	
1	0	566 ^a	42.1 ^a	1.3 ^c	54.5 ^b	5 ^a	45.3 ^c	3.1 ^b
	50	458 ^b	38.3 ^a	2.3 ^b	70 ^b	4.3 ^b	72 ^b	3.8 ^a
	100	390 ^b	33.5 ^b	3.1 ^a	100 ^a	3.8 ^c	104 ^a	3.7 ^a
2	0	513 ^a	40 ^a	1.3 ^c	5.2 ^c	4.8 ^a	43.1 ^c	2.5 ^b
	50	420 ^b	38 ^{ab}	2.3 ^b	65.2 ^b	4.3 ^b	66 ^b	3.2 ^a
	100	378 ^c	35 ^b	2.9 ^a	94.8 ^a	3.8 ^c	101 ^a	3.4 ^a

میانگین ها با حرف مشابه در هر ستون براساس آزمون دانکن در سطح احتمال ۵ درصد اختلاف معنی دار ندارند.

In each column the means with similar letters are not significantly different at 5% levels based on Duncan's test.

جدول ۳- تأثیر محلول پاشی سلنیوم و نانو ذره آهن بر وزن خشک بخش هوایی گیاه، فعالیت آنزیم کاتالاز، محتوای پراکسید هیدروژن، مالون دی-آلدئید، فعالیت سوپراکسید دیسموتاز، محتوای فنل کل، درصد اسانس، محتوای سدیم، پتاسیم و آهن شیمیایی عطری

Table 3- The effects of Se and nano Fe spray on plant dry weight, catalase activity, H₂O₂ content, malondialdehyde content, Superoxide dismutase activity, total phenol content and essential oil percent, Fe, Na and K contents of *Pelargonium graveolens*

آزمایش Experiment No.	محلول- پاشی Spray (mg.l ⁻¹)	وزن خشک بخش هوایی گیاه Aerial part dry weight (g.m ⁻²)	فعالیت آنزیم کاتالاز Catalase activity (units.mg ⁻¹ protein)	محتوای پراکسید هیدروژن H ₂ O ₂ content (μmol.g ⁻¹ FWt)	محتوای مالون دی آلدئید Malondial dehyde content (nmol.g ⁻¹ fwt)	فعالیت سوپراکسید دیسموتاز Superoxide dismutase activity (units.mg ⁻¹ protein)	محتوای فنل کل Total phenolic s content (mg.g ⁻¹ FWt)	درصد اسانس Essenti al oil percent (%)	محتوای سدیم Na content (g.kg ⁻¹)	محتوای پتاسیم K conten t (g.kg ⁻¹)	محتوای آهن Fe conten t (mg.kg ⁻¹)
1	0	418 ^b	34 ^b	2.6 ^a	83 ^a	-	18.6 ^b	8.8 ^b	9.8 ^a	-	24 ^b
	1.5	502 ^a	41.2 ^a	2.1 ^b	72 ^a	-	24.6 ^a	12.5 ^a	7.7 ^b	-	29.6 ^a
	3	493 ^{ab}	38.6 ^a	2 ^b	69 ^a	-	24.1 ^a	12.2 ^a	7.2 ^b	-	32.2 ^a
2	0	-	39 ^b	2.6 ^a	83.3 ^a	4 ^b	18.6 ^b	-	-	8.4 ^b	-
	1.5	-	52 ^a	1.9 ^b	64 ^b	4.4 ^a	21.7 ^a	-	-	10.2 ^a	-
	3	-	60 ^a	2.0 ^b	62 ^b	4.5 ^a	20.7 ^a	-	-	10.8 ^a	-

میانگین‌ها با حرف مشابه در هر ستون براساس آزمون دانکن در سطح احتمال ۵ درصد اختلاف معنی‌دار ندارند.

In each column the means with similar letters are not significantly different at 5% levels based on Duncan's test.

محتوای فلاونوئید گیاه شد (Hernandez et al., 2019). گیاهان برای مقابله با تنش اکسیداتیو ایجاد شده، در اثر تنش مجهز به سیستم دفاع آنتی اکسیداتیو آنزیمی و غیر آنزیمی می‌باشند. تغذیه مناسب گیاه نقش زیادی در بیوستنتر ترکیبات فنلی در گیاه دارد. شاید یکی از دلایل افزایش محتوای ترکیبات فنلی و فلاونوئیدی در اثر محلول پاشی با نانوذره آهن به دلیل افزایش فتوستنتر گیاه و اختصاص کربوهیدرات بیشتر به مسیر اسید شیکمیک باشد که نهایتاً موجب افزایش تولید متابولیت ثانویه در گیاه می‌شود. بدین طریق موجب محافظت گیاه در برابر رادیکال‌های آزاد اکسیژن می‌شوند. تغذیه گیاه کاهو با سلنیوم موجب افزایش بیان ژن‌های UFGT و F3H در گیاه گردید که نقش مهمی در افزایش محتوای ترکیبات فنلی در گیاه داشت (Liu et al., 2006). افزایش در فعالیت آنزیم فنیل‌آلانین آمونیا لیاژ در اثر تیمار با سلنیوم در سیر گزارش شد (Khademi et al., 2018). افزایش فعالیت آنزیم موجب افزایش بیوستنتر ترکیبات فنلی می‌شود که نقش مهمی در کاهش رادیکال‌های آزاد اکسیژن را دارد (Khademi et al., 2018).

درصد اسانس و اجزای اسانس

اثرات مستقل تنش شوری و محلول پاشی با نانوذره آهن محتوای اسانس گیاه را در آزمایش اول تحت تاثیر قرار داد (جدول ۴). بالاترین محتوای اسانس در تیمار بدون تنش شوری و تنش شوری ۵۰ میلی مولار کلرید سدیم مشاهده شد (جدول ۵). محلول پاشی با نانوذره آهن موجب افزایش درصد اسانس در هر دو سطح محلول پاشی شد که نشان‌دهنده افزایش ۲۹ درصدی نسبت به تیمار

تحت شرایط تنش شوری تولید ترکیباتی با وزن مولکولی پایین مانند پرولین نقش مهمی در تعدیل پتانسیل اسمزی سلول، جلوگیری از جذب یون‌های سدیم و کلرید و حفاظت از فسفولیپیدهای غشای سلول را دارد پرولین نقش مهمی در از بین بردن رادیکال‌های آزاد اکسیژن و کاهش اسیدی شدن سلول دارد و به این طریق به بقای سلول تحت شرایط تنش کمک می‌کند (Rady et al., 2011). به نظر می‌رسد تحت شرایط تنش شوری پرولین با اتصال به یون‌های فلزی موجب کاهش اثرات مضر آنها در گیاه شود. چنین به نظر می‌رسد پاسخ فیزیولوژیکی مناسب گیاه باید قبل از وقوع آسیب‌های تنش در گیاه ظاهر شود تا گیاه بتواند شرایط تنش را تحمل کند بیان ژن PDH در زمان مناسب مواجه با تنش در گیاه آرابیدوپسیس موجب تولید پرولین و مقاومت گیاه در مقابل تنش می‌شود (Hare et al., 1999).

محتوای فنل کل و فلاونوئید

هر دو سطح محلول پاشی با سلنیوم و نانوذره آهن موجب افزایش محتوای فنل کل نسبت به تیمار شاهد شد (جدول ۳). محتوای فلاونوئید در هر دو آزمایش تحت تاثیر تیمارهای ۵۰ و ۱۰۰ میلی مولار کلرید سدیم قرار گرفت (جدول ۲). در بررسی انجام شده در رزماری (Hassanpouraghdam et al., 2019) و شیمیایی عطری (RezaeiNejad et al., 2020) مشخص شد که محلول پاشی با آهن موجب افزایش محتوای فنل گیاه شد. در تحقیق انجام شده در گوجه‌فرنگی مشخص شد که محلول پاشی سلنیوم موجب افزایش

۹) - ۱/۴۹) و Menthone (۱۲/۳ - ۵/۳) داشته و بیشترین جزء این ترکیب در تیمار شاهد مشاهده شد. تنش شوری ۵۰ میلی مولار کلرید سدیم و محلول پاشی با سلنیوم موجب افزایش محتوای Citronelly acetate (۱۸/۳۹ - ۱/۵۶ درصد) شد (جدول ۶). محافظت گیاه در مقابل آفات و بیماری‌ها، جذب حشرات گرده افشان، محافظت گیاه در مقابل جانوران علف‌خوار و بیماری‌های قارچی از مهمترین وظایف اسانس در گیاه است (Sadeghi et al., Dudareva et al., 2004; Narnolisa et al., 2019; 2014). در بررسی انجام شده در شعمدانی عطری مشخص شد که عمده‌ترین اجزای اسانس این گیاه شامل citronellyl formate و citronellol, geraniol, linalool, می‌باشد (Narnolisa et al., 2019; Dzamic et al., 2014). در تحقیق انجام شده در شعمدانی مشخص شد که محتوای Geraniol در پاییز در گیاه کاهش یافت و غلظت Citronellol در بهار در گیاه افزایش می‌یابد نسبت Citronellol/Geraniol به عنوان یک شاخص حساس و مهم از تغییر در اجزای اسانس این گیاه می‌باشد (Doimo et al., 1999). در بررسی انجام شده ه در نفعان مشخص شد که کاهش محتوای اسانس تحت تنش شوری به دلیل کاهش تولید سیتوکینین در ریشه و انتقال آن به بخش هوایی گیاه و افزایش اسید آسبیزیک در گیاه می‌باشد (Charles et al., 1990). در تحقیق انجام شده در ریحان مشخص شد که محلول پاشی روی و آهن موجب افزایش محتوای لینالول، ساینین و کادینول در گیاه شد (Said-Al Ahl and Mohmood, 2010).

محتوای سدیم، پتاسیم و نسبت پتاسیم به سدیم

در آزمایش اول محتوای سدیم تحت تاثیر اثرات مستقل تیمارهای آزمایشی قرار گرفت (جدول ۴) و بالاترین محتوای سدیم در تنش شوری ۱۰۰ میلی مولار کلرید سدیم به میزان ۱۴/۸ گرم بر کیلوگرم وزن خشک گیاه مشاهده شد (جدول ۵). محتوای پتاسیم و نسبت پتاسیم به سدیم در آزمایش اول تحت تاثیر تنش شوری قرار گرفت و بیشترین محتوای آن در تیمار بدون تنش شوری مشاهده شد (جدول ۵).

در آزمایش دوم محتوای سدیم و نسبت پتاسیم به سدیم تحت تاثیر اثرات متقابل تنش شوری و محلول پاشی با سلنیوم در سطح احتمال ۵ درصد قرار گرفت (شکل ۵) و بیشترین محتوای سدیم در تیمار تنش شوری ۱۰۰ میلی مولار کلرید سدیم بدون محلول پاشی مشاهده شد (شکل ۳). تیمار بدون تنش شوری و محلول پاشی شده با ۱/۵ و ۳ میلی گرم در لیتر سلنیوم موجب افزایش نسبت پتاسیم به سدیم در گیاه شد (شکل ۴).

کاهش شدید در نسبت پتاسیم به سدیم در تیمار ۱۰۰ میلی مولار کلرید سدیم در تمامی سطوح محلول پاشی مشاهده شد. محتوای

شاهد بود (جدول ۳). تنش شوری، درصد اسانس را در اغلب گیاهان دارویی افزایش می‌دهد که دلیل آن افزایش تولید متابولیت‌های ثانویه در گیاه است. نتایج بررسی انجام شده در گیاه شاهسپریم (Valizadeh Kamran et al., 2017) نشان داد که محلول پاشی با آهن موجب افزایش محتوای اسانس گیاه گردید. شاید یکی از دلایل افزایش محتوای اسانس گیاه در اثر محلول پاشی با آهن مربوط به افزایش فتوسنتز، فعالیت آنزیم‌ها و تثبیت نیتروژن گیاه باشد (Marschner, 1995; Miller et al., 1995). سطح ویژه زیاد نانوذرات موجب افزایش اثر بخشی آنها شده و به این طریق به افزایش محتوای اسانس گیاه کمک می‌کند. تغییر در محتوای اسانس و اجزای آن در اثر تنش شوری در گیاه از طریق تغییر در فعالیت آنزیم‌های درگیر در بیوسنتز ترپنوئیدها و فنیل پروپانوئیدها و تغییر در نسبت سیتوکینین به اسید آسبیزیک در گیاه انجام می‌شود (Marschner, 1995; Miller et al., 1995). نتایج حاصل از آنالیز GC/MS نشان دهنده وجود ۳۶ ترکیب در اسانس شعمدانی عطری بود (جدول ۶). β -citronellol جزء غالب (۱۲/۵ - ۲۰/۵ درصد) اسانس شعمدانی عطری بود. بالاترین میزان این ترکیب در تیمار تنش شوری ۵۰ میلی مولار با محلول پاشی سلنیوم مشاهده شد و کمترین جزء β -citronellol در تیمار تنش شوری ۱۰۰ میلی مولار با محلول پاشی سلنیوم مشاهده شد. بالاترین میزان Citronelly formate (۱۰/۷۵ - ۲۵ درصد) در تیمار شاهد مشاهده شد. یکی از ترکیباتی که بیوسنتز آن تحت تاثیر تنش شوری و تیمار محلول پاشی قرار گرفت Geraniol (۹ - ۱/۲ درصد) بود. بیشترین مقدار این جزء در تیمار تنش شوری ۵۰ میلی مولار با محلول پاشی سلنیوم مشاهده شد. بیوسنتز Geranyl isobutyrate (۲ درصد) و Caryophyllene oxide (۲/۲ - ۵/۴ درصد) تحت تاثیر تیمار تنش ۱۰۰ میلی مولار کلرید سدیم و محلول پاشی با نانوذره آهن قرار گرفت. تیمار تنش شوری ۵۰ و ۱۰۰ میلی مولار کلرید سدیم و محلول پاشی با سلنیوم موجب افزایش محتوای β -cadinene (۳/۲ - ۲/۴۷ درصد) نسبت به سایر تیمارها شد. تیمار ۱۰۰ میلی مولار کلرید سدیم و محلول پاشی آهن، بیوسنتز Bicyclogermacrene (۲/۹ درصد)، α -Humulene (۱/۱۷ درصد) و Germacrene -D (۱/۱ - ۴/۳ درصد) را تحت تاثیر قرار داد. تنش شوری و تیمارهای مورد استفاده در محلول پاشی موجب کاهش جزء α -Pinene (۱/۴ - ۹/۴۸ درصد) در گیاه شد و بیشترین مقدار آن در تیمار شاهد مشاهده شد. β -Thujone (۱۲/۶۱ درصد) در تیمار شاهد مشاهده شد و تنش شوری و تیمارهای مورد استفاده در محلول پاشی تاثیر در بیوسنتز این جز نداشتند. بیشترین جزء Cis-Rose oxide (۲ - ۶/۳۴) در تیمار تنش شوری ۱۰۰ میلی مولار کلرید سدیم و محلول پاشی با سلنیوم مشاهده شد. تنش و تیمارهای مورد استفاده در محلول پاشی تاثیر منفی بر بیوسنتز trans-Rose oxide

کلسیم و پتاسیم) می‌شود. افزایش تجمع سدیم در سیتوپلاسم موجب ایجاد اثرات سمیت در متابولیسم سلول می‌شود. افزایش شدید سدیم و کاهش پتاسیم موجب ناتوانی ناقل‌های انتقال‌دهنده پتاسیم در غشای سلول می‌شود که نهایتاً منجر به زردی و پیری برگ می‌شود (Marschner, 1995).

پتاسیم تحت تاثیر اثرات مستقل تیمارهای آزمایشی بود (جدول ۴). بالاترین محتوای پتاسیم در تیمارهای محلول‌پاشی با ۱/۵ و ۳ میلی‌گرم در لیتر سلنیوم حاصل شد (جدول ۳). تنش شوری کلرید سدیم با ایجاد اختلال در جذب سایر عناصر غذایی از طریق ایجاد رقابت یونی موجب کاهش جذب سایر عناصر غذایی (منیزیم،

جدول ۴- تجزیه واریانس تاثیر محلول‌پاشی سلنیوم، نانوذره آهن و تنش شوری بر محتوای فلاونوئید، درصد اسانس و محتوای عناصر شعمدانی عطری

Table 4- ANOVA for the Se and nano Fe spray and salinity on flavonoid content, essential oil percent, and element contents of *Pelargonium graveolens*

آزمایش Experiment No.	منابع تغییرات Source of variation	درجه آزادی df	محتوای فلاونوئید Flavonoids content	درصد اسانس Essential oil percent	محتوای سدیم Na content	محتوای پتاسیم K content	نسبت پتاسیم به سدیم K/Na	محتوای آهن Fe content	محتوای سلنیوم Se content
1	شوری Salinity	2	1.2*	14.1**	331**	44.9**	31.9**	502**	89*
	محلول‌پاشی با آهن Fe spray	2	0.34 ^{ns}	36.4**	10.4**	3.07 ^{ns}	0.28 ^{ns}	159*	0.25 ^{ns}
	شوری × محلول- پاشی با آهن Salinity × Fe spray	4	0.06 ^{ns}	3.0 ^{ns}	1.1 ^{ns}	0.86 ^{ns}	0.17 ^{ns}	9.8 ^{ns}	1.64 ^{ns}
	خطا Error	18	0.22	5.09	1.22	1.76	0.143	27.5	26
2	شوری	2	1.8**	17.3 ^{ns}	245**	59.7**	73**	378**	157**
	محلول‌پاشی با سلنیوم Se spray	2	0.6 ^{ns}	6.2 ^{ns}	38**	14.2*	8.4**	33 ^{ns}	720**
	شوری × محلول- پاشی با سلنیوم Salinity × Se spray	4	0.08 ^{ns}	1.7 ^{ns}	6*	0.32 ^{ns}	3.5**	3.8 ^{ns}	231**
	خطا Error	18	0.29	8.33	1.8	2.4	0.34	12.4	47.9

^{ns}, * و ** به ترتیب به مفهوم عدم اختلاف معنی‌دار و اختلاف معنی‌دار در سطح احتمال ۵ و ۱ درصد می‌باشند.
ns, *, and ** are non-significant and significant at $p \leq 0.05$ and $p \leq 0.01$, respectively.

جدول ۵- تاثیر تنش کلرید سدیم بر درصد اسانس و محتوای عناصر در شعمدانی عطری

Table 5- The effects of NaCl salinity on essential oil percent and elemental content on *Pelargonium graveolens*

آزمایش Experiment No.	شوری Sainity (mg.l ⁻¹ NaCl)	درصد اسانس Essential oil percent	محتوای سدیم Na content (g.Kg ⁻¹)	محتوای پتاسیم K content (g.Kg ⁻¹)	نسبت پتاسیم به سدیم K/Na	محتوای آهن Fe content (mg.Kg ⁻¹)	محتوای سلنیوم Se content (mg.Kg ⁻¹)
1	0	11.1 ^a	2.6 ^c	10 ^a	3.8 ^a	36.8 ^a	39.6 ^a
	50	12.5 ^a	8.7 ^b	7.7 ^b	0.87 ^b	26 ^b	35.2 ^{ab}
	100	10 ^b	14.8 ^a	5.6 ^c	0.38 ^c	22 ^b	25.5 ^b
2	0	-	-	12.5 ^a	-	33.4 ^a	-
	50	-	-	9.6 ^b	-	24 ^b	-
	100	-	-	7.3 ^c	-	20.8 ^b	-

میانگین‌ها با حرف مشابه در هر ستون براساس آزمون دانکن در سطح احتمال ۵ درصد اختلاف معنی‌دار ندارند.

In each colum the means with similar letters are not significantly different at 5% levels based on Duncan's test.

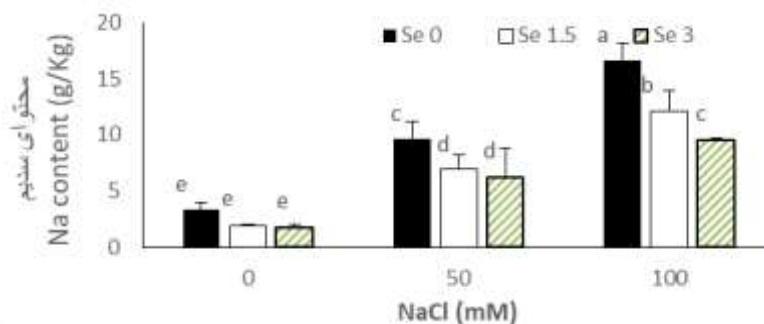
جدول ۶- اجزا اسانس (درصد) گیاه شعمدانی عطری رشد یافته تحت تنش شوری کلرید سدیم (صفر، ۵۰ و ۱۰۰ میلی مولار) و محلول پاشی شده با ۱/۵ میلی گرم در لیتر سلنیوم و نانوذره آهن

Table 6- Oil constituent (%) of *Pelargonium graveolens* grown under NaCl salinity (0, 50 and 100 mM) and foliar application of 1.5 mg.L⁻¹ Se and nano-Fe

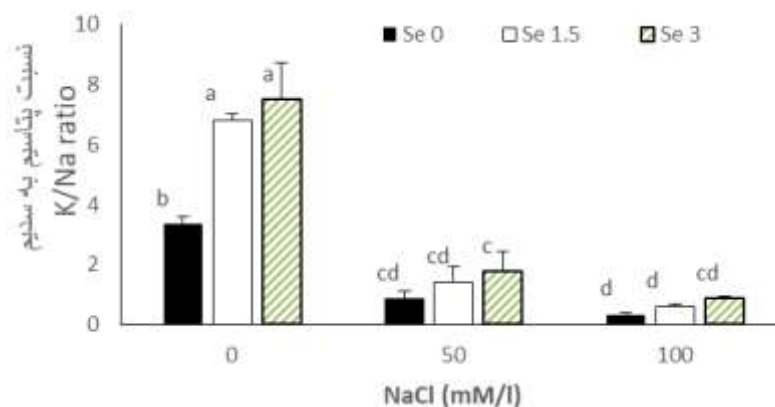
ردیف Row	ترکیبات Constituents	RT	RI	control	NaCl ₁₀₀ *Se	NaCl ₅₀ *Se	NaCl ₁₀₀ *Fe	NaCl ₅₀ *Fe
1	α-Pinene	4.43	935	9.48	3.58	2.58	1.41	3.54
2	phellandrine	6.3	1007	-	0.92	0.36	0.62	0.55
3	linalool	7.34	1095	-	0.26	0.5	0.76	0.51
4	β-Thujone	7.48	1123	12.61	-	-	-	-
5	Cis-Rose oxide	7.49	1107	2.73	6.34	-	2.81	2.05
6	trans-Rose oxide	7.79	1124	9	-	4.47	1.49	2.85
7	citronellal	8.25	1132	-	0.55	0.92	0.94	0.72
8	Menthone	8.97	1152	12.3	6.2	6.03	5.38	8.07
9	β-citronellol	9.23	1227	20.5	12.5	24.37	23.3	23.5
10	Citronellyl formate	10.71	1262	25.2	10.75	-	12.51	17.92
11	β-bourbonene	12.97	1374	-	2.05	-	1.61	2.26
12	Trans-caryophyllene	13.6	1417	-	2.13	3.31	-	3.81
13	α-Humulene	14.22	1440	-	-	-	1.17	-
14	Germacrene -D	14.48	1483	4.31	1.13	2.42	4.6	2.81
15	Farnesene	14.56	1499	-	1	-	-	2.75
16	Bicyclogermacrene	15.17	1475	-	-	-	2.93	-
17	Y- muurolene	15.19	1307	-	0.45	4.06	2.3	0.4
18	Calarene	15.37	1544	-	-	-	0.39	-
19	β-cadinene	15.75	1491	2.99	3.02	3.27	2.47	2.56
20	Geraniol	16.41	1255	-	1.21	14.6	7.3	9
21	Geranyl isobutyrate	16.43	1232	-	-	-	2	-
22	(+)-Spathulenol	16.97	157	-	0.89	-	0.98	-
23	Caryophyllene oxide	17	1584	-	2.22	2.6	5.45	2.26
24	Phenylethyl tiglate	17.09	1393	-	4.09	-	-	-
25	α- cabebene	17.63	1351	-	0.81	-	-	-
26	Citronellyl isobutyrate	17.71	1483	-	1.22	-	-	-
27	Aromadendrene	17.71	1441	5.42	-	1.02	0.77	-
28	α- copaene	17.90	1376	-	3.86	-	0.87	-
29	Y-cadinene	18.19	1505	-	-	0.25	0.87	-
30	β- bisabolene	18.55	1500	1.61	1.66	2.77	3.6	1.13
31	Citronellyl acetate	18.70	1356	-	12.87	18.39	-	1.56
32	Citronellyl propionate	18.8	1446	-	10.32	1.12	3.8	0.15
33	Geranyl formate	19.23	1289	-	2.33	0.7	2.06	7.80
34	Neryl acetate	19.52	1342	-	3.06	0.13	-	1
35	Geranyl propionate	20.16	1447	-	1.49	-	1.43	-
36	Citronellyl valerate	21.23	1600	-	1.2	0.32	1.79	2.42
جمع				95.15	98.11	94.19	95.61	99.62

دارد (Munns and Tester, 2008). تحت تنش شوری کاربرد سلنیوم نقش مهمی در جلوگیری از جذب کلر و سدیم توسط گیاه داشته و به این طریق مانع آسیب وارده به سلول تحت تنش شوری می شود.

افزایش در محتوای پتاسیم در گیاهان رشد کرده تحت شرایط تنش یکی از فاکتورهای مقاومت گیاه در مقابل تنش شوری می باشد پتاسیم نقش مهمی در تنظیم پتانسیل اسمزی سلول های ریشه، انتقال مواد محلول در آوند چوبی، تنظیم حرکات روزنه ای و توازن آبی گیاه



شکل ۳- اثرات متقابل تنش شوری × محلول پاشی (صفر، ۱/۵ و ۳ میلی گرم در لیتر) سلنیوم بر محتوای سدیم شعمدانی عطری
 Figure 3- The interaction effects of salinity × foliar spray of Se (0, 1.5 and 3 mg.L⁻¹) on Na content of *Pelargonium graveolens* (DMRT, $p \leq 0.05$)



شکل ۴- اثرات متقابل تنش شوری × محلول پاشی (صفر، ۱/۵ و ۳ میلی گرم در لیتر) سلنیوم بر نسبت پتاسیم به سدیم شعمدانی عطری
 Figure 4- The interaction effects of salinity × foliar spray of Se (0, 1.5 and 3 mg.L⁻¹) on K/Na ratio of *Pelargonium graveolens* (DMRT, $p \leq 0.05$)

محتوای آهن

اثرات مستقل تنش شوری و محلول پاشی با نانوذره آهن، محتوای آهن گیاه را در آزمایش اول تحت تاثیر قرار داد (جدول ۴). بیشترین محتوای آهن در تیمار بدون تنش شوری مشاهده شد (جدول ۵). محلول پاشی با هر دو سطح ۱/۵ و ۳ میلی گرم در لیتر نانوذره آهن موجب افزایش محتوای آهن گیاه به میزان ۲۹/۶ و ۳۲/۲ میلی گرم در کیلوگرم ماده خشک گیاه شد (جدول ۳). در آزمایش دوم محتوای آهن تحت تاثیر اثر مستقل تنش شوری قرار گرفت (جدول ۴) و بالاترین محتوای آهن در تیمار بدون تنش شوری به میزان ۳۳/۴ میلی گرم در کیلوگرم مشاهده شد (جدول ۵). در تحقیق انجام شده در گیاه رزماری مشخص شد که محلول پاشی گیاه با آهن موجب افزایش محتوای آهن گیاه شد (Hassanpouraghdam et al., 2019). نتایج مشابهی در خصوص افزایش محتوای آهن گیاه در اثر محلول پاشی با نانو ذره آهن در گیاه نعناع گزارش شد (Askary et al., 2017). آهن از عناصر ضروری مورد نیاز برای فعالیت آنزیم‌های سیتوکرومی، فتوسنتز و بیوسنتز DNA و RNA می‌باشد. آهن نقش مهمی

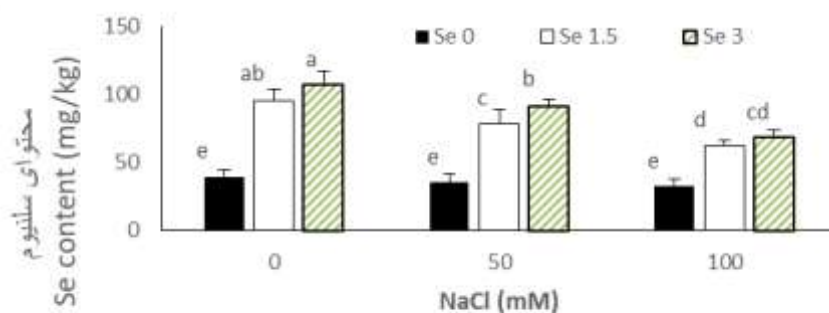
در زنجیره انتقال الکترون، آنزیم کلروفیل سنتتاز و حفظ ساختار کلروپلاست دارد (Marschner, 1995). شاید دلیل افزایش محتوای آهن در اثر محلول پاشی با نانوذرات آهن مربوط به سطح ویژه نانوذرات باشد که موجب افزایش تاثیر آنها شده است (Wannoussa et al., 2015).

محتوای سلنیوم

در آزمایش اول تنش شوری ۰ و ۵۰ میلی مولار کلریدسدیم موجب افزایش محتوای سلنیوم به میزان ۳۹/۶ و ۳۵/۲ میلی گرم در کیلوگرم ماده خشک شعمدانی شد (جدول ۵). اما در آزمایش دوم محتوای سلنیوم تحت تاثیر اثرات متقابل تنش شوری و محلول پاشی با سلنیوم قرار گرفت تیمار بدون تنش شوری و محلول پاشی با ۱/۵ و ۳ میلی گرم در لیتر سلنیوم موجب افزایش محتوای سلنیوم گیاه شد با افزایش تنش شوری به ۵۰ و ۱۰۰ میلی مولار تیمارهای محلول پاشی تاثیر در محتوای سلنیوم گیاه نداشت (شکل ۵). در بررسی انجام شده در گوجه فرنگی مشخص شد که محلول پاشی سلنیوم موجب

رادیکال‌های آزاد اکسیژن به بقای گیاه تحت شرایط تنش کمک می‌کند (Hassanpouraghdam et al., Shekari et al., 2017) ; (2019).

افزایش محتوای سلنیوم گیاه شد (Hernandez et al., 2019). سلنیوم نقش مهمی در رشد گیاه تحت شرایط تنش‌های زیستی و غیرزیستی را دارد. تحت شرایط تنش شوری تیمار با سلنیوم موجب افزایش نسبت پتاسیم به سدیم در گیاه شده و با کاهش اثرات



شکل ۵- اثرات متقابل تنش شوری × محلول‌پاشی (صفر، ۱/۵ و ۳ میلی‌گرم در لیتر) سلنیوم بر محتوای سلنیوم شعمدانی عطری
Figure 5- The interaction effects of salinity × foliar spray of Se (0, 1.5 and 3 mg.L⁻¹) on Se content of *Pelargonium graveolens* (DMRT, $p \leq 0.05$)

نتیجه‌گیری

دیسموتاز و کاتالاز تحت تاثیر اثرات مستقل تنش شوری و محلول‌پاشی قرار گرفت. تیمارهای ۱/۵ و ۳ میلی‌گرم در لیتر نانوذره آهن و سلنیوم موجب افزایش محتوای کاتالاز گیاه شد. با افزایش تنش شوری به ۱۰۰ میلی‌مولار بر فعالیت پراکسید هیدروژن افزوده شد. با افزایش تنش شوری تا ۵۰ میلی‌مولار بر درصد اسانس گیاه افزوده شد. در کل چنین می‌توان نتیجه‌گیری نمود که تنش شوری موجب کاهش صفات رشدی و فیزیولوژیک شعمدانی عطری شد. محلول‌پاشی با سلنیوم و نانوذره آهن نقش مهمی در بهبود صفات فیزیولوژیک گیاه را داشت.

نتایج حاصل از بررسی انجام شده نشان داد که تنش شوری تاثیر منفی بر عملکرد گیاه و صفات فیزیولوژیکی گیاه داشت. محتوای عناصر گیاه تحت تاثیر اثرات مستقل تیمارهای آزمایشی مخصوصا تنش شوری قرار گرفت و با افزایش شدت تنش از محتوای عناصر گیاه کاسته شد. محتوای مالون‌دی‌آلدئید و پراکسید هیدروژن تحت تاثیر اثرات مستقل تنش شوری و تیمارهای محلول‌پاشی قرار گرفت و با افزایش شدت تنش شوری بر محتوای هر دو ترکیب در گیاه افزوده شد و تیمارهای مورد استفاده در محلول‌پاشی موجب کاهش اثرات مخرب تنش در گیاه شد. فعالیت آنزیم‌های آنتی‌اکسیدانی، سوپراکسید

منابع

- Amaranathareddy V., Lokesh U., Venkatesh B., and Sudhakar C. 2015. Pb-stress induced oxidative stress caused alterations in antioxidant efficacy in two ground nut (*Arachis hypogaea* L.) cultivars. *Agricultural Sciences* 6: 1283-1297.
- Askary M., Talebi S.M., Amini F., and Dousti Balout Bangan A. 2017. Effects of iron nanoparticles on (*Mentha piperita* L.) under salinity stress. *Biologija* 63(1): 65-75.
- AOAC. 1990. Official Methods of Analysis. Association of Official Agricultural Chemists, Washington, DC.
- Berwal M.K., and Ram C. 2019. Superoxide dismutase: a stable biochemical marker for abiotic stress tolerance in higher plants. *Abiotic and Biotic Stress in Plants*. doi: 10.5772/intechopen.82079.
- Charles D.J., Joly R.J., and Simon J.E. 1990. Effect of osmotic stress on the essential oil content and composition of peppermint. *Phytochemistry* 29: 2837-2840.
- Doimo L., Mackay D.C., Rintoul G.B., Darcy R.B., and Fletcher R. 1999. Citronellol: geraniol ratios and temperature in geranium (*Pelargonium hybrid*). *The Journal of Horticultural Science and Biotechnology* 74(4): <https://doi.org/10.1080/14620316.1999.11511147>.
- Dudareva N., Pichersky E., and Gershenzon J. 2004. Biochemistry of plant volatiles. *Plant Physiology* 134: 1893-

- 1902.
8. Dzamic A.M., Sokovic M.D., Ristic M.S., Grujic S.M., Mileski K.S., and Marin P.D. 2014. Chemical composition, antifungal and antioxidant activity of *Pelargonium graveolens* essential oil. *Journal of Applied Pharmaceutical Sciences* 4(03):001–005
 9. Fedina I., Georgieva K., Velitchkova M., and Grigorova I. 2006. Effect of pretreatment of barley seedlings with different salts on the level of UV-B induced and UV-B absorbing compounds. *Environmental and Experimental Botany* 56: 225-230.
 10. Ghannadi A., Bagherinejad M.R., Abedi D., Jalali M., Absalan B., and Sadeghi N. 2012. Antibacterial activity and composition of essential oils from *Pelargonium graveolens* L. Her and *Vitex agnus-castus* L. *Iranian Journal of Microbiology* 4: 171-176. (In Persian with English abstract)
 11. Giannopolitis C.N., and Ries S.K. 1977. Superoxide dismutase II. Purification and quantitatives relationship with water soluble protein in seedling. *Plant Physiology* 50: 315-318.
 12. Hare P.D., Cress W.A., and Van staden J. 1999. Prolin synthesis and degradation. A model system for elucidating stress-related signal transduction. *Journal of Experimental Botany* 50: 413-434.
 13. Hassanpouraghdam M.B., Vojodi Mehrabani L., and TZortzakis N. 2019. Foliar application of Nano-Zinc and Iron effects physiological attributes of ROS marines officinal is and quietness NaCl salinity depression. *Journal of soil science and plant Nutrition* <http://doi.org/1001007/s4/29-019-00111-1>.
 14. Hassanvand F., RezaeiNejad A.H., and Fanouvakis D. 2019. Morphological and physiological components mediating the silicon-induced enhancement of geranium essential oil yield under saline conditions. *Industrial Crops and Products* 134: 19-25.
 15. Heath R.L., and Packer L. 1968. Photo peroxidation in isolated chloroplasts: I. Kinetics and stoichiometry of fatty acid peroxidation. *Archives of Biochemistry and Biophysics* 125: 189-198.
 16. Hernandez H.H., Gutierrez T.Q., Pliego G.C., Ortiz H.O., Fuentes A.D., Fuente M.C., Reyna V., and Maldonado A.J. 2019. Impact of selenium and copper nanoparticles on yield, antioxidant system, and fruit quality of tomato plants. *Plants* 8: 355. [doi:10.3390/plants8100355](https://doi.org/10.3390/plants8100355).
 17. Khademi Astaneh R., Bolandnazar S., Zaare Nahandi F., and Oustan S. 2018. Effect of selenium application on phenylalanine ammonia-lyase (PAL) activity, phenol leakage and total phenolic content in garlic (*Allium sativum* L.) under NaCl stress. *Information processing in Agriculture* 5(3): 339-344.
 18. Kim K.H., Tsao R., Yang R., and Cui S.W. 2006. Phenolic acid profiles and antioxidant activities of wheat bran extracts and the effect of hydrolysis conditions. *Food Chemistry* 95: 466–473.
 19. Liu X., Feng Z., Zhang S., Zhang J., Xiao Q., and Wang Y. 2006. Preparation and testing of cementing nano-subnano composites of slower controlled release of fertilizers. *Scientia Agricultura Sinica Journal* 39: 1598-1604.
 20. Luhova L., Lebeda A., Hederorva D., and Pec P. 2003. Activities of oxidase, peroxidase and catalase in seedlings of *Pisum sativum* L. under different light conditions. *Plant Soil Environment* 49(4). 151-157.
 21. Marschner H. 1995. Mineral nutrient of higher plants. 2nd Edition. London: Academic Press Limited, Harcourt Brace and Company Publishers.
 22. Miller G.W., Huang J., Welkie G.W., and Pushmik J.C. 1995. Function of iron in plants with special emphasis on chloroplast and photosynthetic activity. In: Abadia J (Ed.), *Iron nutrition in soil and plants*. Kluwer Academic publishers. Dordrecht, Pp: 19-28.
 23. Mozafari A.A., Ghdakchi asl A., and Chaderi N. 2018. Grape response to salinity stress and role of iron nanoparticle and potassium silicate to mitigate salt induced damage under in vitro conditions. *Physiology and molecular Biology of Plants* 24(1): 25-35.
 24. Munns R., and Tester M. 2008. Mechanisms of salinity tolerance. *Annual Review of Plant Biology* 59: 651–681.
 25. Narnolisa L.K., Singh Jadaun J., and Singh S.P. 2019. The phytochemical composition, biological effects and biotechnological approaches to the production of high-value essential oil from Geranium. *Essential Oil Research*. 327-352. [doi: 10.1007/978-3-030-16546-8_12](https://doi.org/10.1007/978-3-030-16546-8_12).
 26. Pirzad A., and Barin C. 2018. Iron and Zinc interaction on leaf nutrients and essential oil of *Pimpinella anisum* L. *Iranian Journal of Plant Physiology* 8(4): 2507-2515. (In Persian with English abstract)
 27. Rady M., Sadak M.S., El-Bassiouny H.M.S., and Abd El-Monem A.A. 2011. Alleviation the adverse effects of salinity stress in sunflower cultivars using nicotinamide and α -tocopherol. *Australian Journal of Basic and Applied Sciences* 5(10): 342-355.
 28. RezaeiNejad A.V., Izadi Z., Sepahvand K., Mumivaad H., and Mousavi-fard S. 2020. Changes in total phenol and some enzymatic and non-enzymatic antioxidant activates of rose-scented geranium (*Pelargonium graveolens*) in response of exogenous ascorbic-acid and iron nutrition. *Journal of Ornamental Plant* 10(1): 27-36.
 29. Sadeghi H., Jamalpoor S., and Shirzadi M.H. 2014. Variability in essential oil of *Teucrium polium* L. of different latitudinal populations. *Industrial Crops and Products* 54: 130–134.
 30. Said-Al Ahl H.A.H., and Mohmoud A.A. 2010. Effect of zinc and / or iron foliar application on growth and essential oil of sweet basil (*Ocimum basilicum* L.) under salt stress. *Ozean Journal of Applied Sciences* 3(1): 97-111.

31. Shekari F., Abbasi A., and Mustafavi S.H. 2017. Effect of silicon and selenium on enzymatic changes and productivity of dill in saline condition. *Journal of the Saudi Society of Agricultural Sciences* 16(4): 367-374
32. Subramanyam K., Du Laing G., and Van Damme E.J.M. 2019. Sodium selenate treatment using a combination of seed priming and foliar spray alleviates salinity Stress in rice. *Frontiers in Plant Science* 10 [doi:10.3389/fpls.2019.00116](https://doi.org/10.3389/fpls.2019.00116).
33. Turkan I., and Demiral T. 2009. Recent developments in understanding salinity tolerance. *Environmental and Experimental Botany* 67: 2-9
34. Valizadeh Kamran R., Vojodi Mehrabani L., and Pessaraki M. 2017. Effects of foliar application of FeSO₄ and NaCl salinity on vegetative growth, antioxidant enzymes activity, and malondialdehyde content of *Tanacetum balsamita* L. *Communications in Soil Science and Plant Analysis* 48(16): 1852-1859.
35. Vojodi Mehrabani L., Hassanpouraghdam M.B., and Shamsi-Khotab T. 2018. The effects of common and nano-zinc foliar application on the alleviation of salinity stress in (*Rosmarinus officinalis* L.). *Acta Scientiarum Polonorum Hortorum Cultus* 17(6): 65-73.
36. Vojodi Mehrabani L. 2019. The effects of methanol and ethanol foliar application under salinity stress on some physiological characteristics of (*Pelargonium graveolens* L.). *Journal of Plant Physiology and Breeding* 9(1): 67-79.
37. Wannoussa W., Masy T., Lambert S.D., Heinrichs B., Tasseroul L., Al-Ahmad A., Weekers F., Thonar P., and Hiligsmann, S. 2015. Effect of iron nanoparticles synthesized by a Sol-Gel process on *Rhodococcus erythropolis* T902.1 for biphenyl degradation. *Journal Water Resource Prot* 7: 264–77.
38. Xue T.L., Hartikainen H., and Piironen V. 2001. Antioxidative and growth-promoting effects of selenium on senescing lettuce. *Plant and Soil* 237: 55-61.